

り、又脱硫された硫黄の約 80% はガスに逃げると推定される。

1) シャフトに於てボッシュガスによつて行われる脱硫が 600°C 附近に最小の所があるのは、炭素沈積と何等かと關係があるのでないかと想像されるが、明かではない。

V. 結 言

以上により著者は熔鑄爐内に於ける脱硫實驗装置を考案し、從來の如く SO_2 又は H_2S を鐵鑄石又はコークス

に作用せしめる實驗は不充分なる事を指摘し、熔鑄爐内シャフト部に於て、鐵鑄石及びコークス中の硫黄は上昇ガスにより脱硫され、1000°C に於て脱硫された硫黄は石灰石よりガスの方へ餘計に逃げる故、ボッシュガス中硫黄が熔融銑鐵に対する影響が少なければ、コークス中燃焼性硫黄は脱硫に關して影響は小さい事を明かにした。而して朝顔に於てはボッシュガスによる熔融銑鐵への影響に就ては更に研究を進めるべきであると思う。

終りに本實驗に於て終始絶大な努力をされた新井並に平山兩君に感謝する。(昭和 27 年 6 月寄稿)

溶融 鑄 淚 の 粘 性 (II)

($\text{CaO}-\text{SiO}_2-\text{Al}_2\text{O}_3-\text{MgO}$ 系の粘性)

(昭和 27 年 4 月本會講演大會にて講演)

川 合 保 治*

ON THE VISCOSITY OF MOLTEN SLAGS (II)

(Viscosity of $\text{CaO}-\text{SiO}_2-\text{Al}_2\text{O}_3-\text{MgO}$ Slags)

.Yasuji Kawai

Synopsis:

To clarify the effect of MgO on the viscosity of blast furnace slag, viscosities of synthetic $\text{CaO}-\text{SiO}_2-\text{Al}_2\text{O}_3-\text{MgO}$ slags were measured by the rotating inner-cylinder viscosimeter as in the case of the first report. (Tetsu-to-Hagane, Vol. 38, 1952, 12) Iso-viscosity lines at 1,500 and 1,600°C are drawn on the diagram (Fig. 1, 2, 3)

When MgO was added to $\text{CaO}-\text{SiO}_2$ slag, the viscosity decreased with increasing amounts of MgO up to about 20%, but thereafter increased. The region of low viscosity in $\text{CaO}-\text{SiO}_2-\text{MgO}$ slag was greater than that in the $\text{CaO}-\text{SiO}_2-\text{Al}_2\text{O}_3$ slag.

When MgO was added to $\text{CaO}-\text{SiO}_2-\text{Al}_2\text{O}_3$ slag, the viscosity decreased and moreover change in viscosity at constant temperature caused by the change of slag composition became small, but these beneficial effects of MgO were less noticeable than those reported by the previous investigator. With respect to the fluxing quality, MgO had nearly as much influence in reducing slag viscosity as CaO or slightly less.

I. 緒 言

普通熔鑄爐鑄滓中には鐵鑄石、コークスの灰分等に原因する MgO が 3~10% 程度含まれて居り、この MgO は熔融鑄滓の粘性を低下せしめ、熔鑄爐に於ける脱硫反應にとって好結果を示すものであり、特に高 Al_2O_3 含有量の場合は有効であると考えられている。從來の研究に及ぼす MgO の影響に關する研究の

多くは、ある特定組成の鑄滓に MgO を添加した場合の粘性変化の模様を調べたもので $\text{CaO}-\text{SiO}_2-\text{Al}_2\text{O}_3-\text{MgO}$ 系に就て系統的に粘性を測定した研究は少ない。著者は義に $\text{CaO}-\text{SiO}_2-\text{Al}_2\text{O}_3$ 系の粘性を測定し、從來の測定値と多少異なる點があることを報告した。引續いて CaO -

$\text{SiO}_2\text{-MgO}$ 系及び $\text{MgO} 10\%$ 程度迄の $\text{CaO-SiO}_2\text{-Al}_2\text{O}_3$ - MgO 系に就いて粘性を測定したのでその結果を報告する。

II. 實驗装置及び實驗方法

前報¹⁾に報告した装置を用い、同じ方法で粘性を測定した。即ち黒鉛坩堝中で高周波爐により鑄滓を熔融し、その中に一定深さに浸漬した黒鉛棒を一定偶力により回轉させその回轉速度の測定より粘性を決定した。使用した坩堝の大きさ、回轉黒鉛棒の徑及び熔融中への浸漬深さ等は前報の場合と同じであり、回轉速度と粘性の關係も前に決定しておいたものを使用した。(第 I 報第 1, 2 圖参照)

III. 實驗結果

試料に用いた CaO , SiO_2 , Al_2O_3 は前報の場合と同じもので、 MgO は化學用純 MgO を使用した。これらを所要の割合に混合したものと黒鉛坩堝中で高周波爐に

より熔融し 1700°C 程度に暫く保持して組成を均一にすると共に氣泡を除いたもの約 150g を粘性測定試料とした。この試料を再熔解し黒鉛棒を浸漬せしめ種々の温度に於て回轉速度を測定し粘性を求めた。 MgO を含有する鑄滓の場合も粘度 (η) の對數と絶體溫度 (T) の逆數は實驗溫度範圍内では略々直線關係にあつた。即ち

$$\eta = A \cdot e^{-U/RT}$$

の關係が成立した。茲に U は粘性流の活性化エネルギーで液體構造が變化しない限り物質によつて決定される恒数、 A も又物質によつて決定される恒数である。

從つてこれらの回歸直線の方程式を求め、それより各鑄滓の 1500 , 1600°C に於ける粘度を算出した。結果を一括して第 1 表に示す。尚表には A , U の値を附記した。

この結果に基き $\text{CaO-SiO}_2\text{-MgO}$ 系及び $\text{CaO-SiO}_2\text{-Al}_2\text{O}_3\text{-MgO}$ 系に於ける 5 , 10% MgO の切斷面に等粘性線を書き McCaffery²⁾ の結果と比較した*. 第 1 圖は $\text{CaO-SiO}_2\text{-MgO}$ 系の等粘性線で實線は本實驗の結

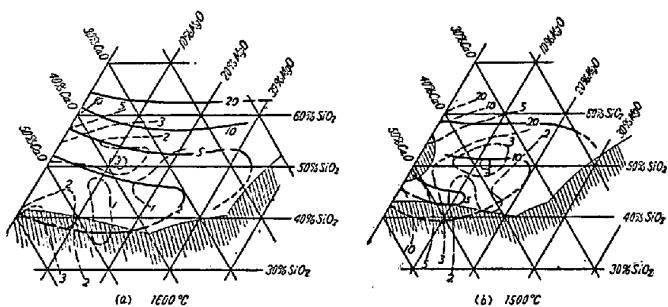
第 1 表 實驗結果

實驗番號	鑄滓組成 (%)				粘度 (poise)		A (poise)	U (kcal)
	CaO	SiO ₂	Al ₂ O ₃	MgO	1600°C	1500°C		
I-1	53.03	43.16		3.81	0.8	6.0	$1 \cdot 19 \cdot 10^{-16}$	34.3
2	46.54	49.84		3.62	1.8	8.9	$7 \cdot 13 \cdot 10^{-13}$	26.9
3	38.25	58.46		3.29	4.1	17	$3 \cdot 94 \cdot 10^{-11}$	28.9
4	29.94	66.86		3.20	24	(86)	$3 \cdot 08 \cdot 10^{-9}$	21.5
5	48.59	35.40	11.88	4.13	2.5			
6	41.11	43.63	11.31	3.95	2.2	6.8	$3 \cdot 25 \cdot 10^{-9}$	19.2
7	34.79	50.17	11.51	3.53	6.2	28	$1 \cdot 96 \cdot 10^{-11}$	25.0
8	25.07	58.71	12.94	3.28	22	(175)	$1 \cdot 69 \cdot 10^{-15}$	35.0
9	43.67	30.84	21.87	3.62	2.5	8.2	$1 \cdot 22 \cdot 10^{-9}$	20.2
10	36.13	39.17	21.31	3.39	3.1	11	$3 \cdot 16 \cdot 10^{-10}$	21.7
11	28.89	46.71	21.46	2.94	13	35	$5 \cdot 21 \cdot 10^{-7}$	16.1
12	21.62	54.81	20.93	2.64	72	(185)	$3 \cdot 97 \cdot 10^{-6}$	15.8
13	46.56	22.22	28.54	2.68	1.5	(7.7)	$3 \cdot 20 \cdot 10^{-13}$	27.5
14	29.75	35.47	31.43	3.35	10	30	$5 \cdot 42 \cdot 10^{-8}$	18.0
15	19.73	47.71	29.49	3.07	80	(380)	$8 \cdot 57 \cdot 10^{-11}$	26.0
II-1	49.85	42.10		8.05	1.0	4.4	$9 \cdot 23 \cdot 10^{-12}$	24.0
	43.46	49.15		7.39	2.3	8.0	$3 \cdot 55 \cdot 10^{-10}$	21.3
	35.46	56.82		7.72	7.7	22	$8 \cdot 73 \cdot 10^{-6}$	17.2
	26.20	65.49		8.31	65	(770)	$6 \cdot 50 \cdot 10^{-18}$	41.3
	45.05	35.64	11.45	7.86	0.9	3.6	$1 \cdot 40 \cdot 10^{-11}$	23.5
	39.06	43.32	9.63	7.99	2.1	6.7	$2 \cdot 15 \cdot 10^{-9}$	19.5
	30.94	51.20	10.05	7.81	8.4	19	$2 \cdot 94 \cdot 10^{-6}$	14.0
	25.43	56.06	11.13	7.38	22	63	$2 \cdot 74 \cdot 10^{-7}$	17.2
	41.00	28.97	22.41	7.62	4.1	13	$6 \cdot 67 \cdot 10^{-9}$	19.1
	34.16	36.08	21.97	7.79	5.4	16	$3 \cdot 08 \cdot 10^{-6}$	17.9
	24.47	45.16	22.89	7.48	25	70	$2 \cdot 32 \cdot 10^{-7}$	17.4
	16.57	52.93	23.03	7.47	95	(920)	$3 \cdot 72 \cdot 10^{-16}$	37.8
	29.05	28.12	31.62	11.21	31			
	23.07	36.80	28.87	11.26	13	32	$1 \cdot 27 \cdot 10^{-6}$	15.2
	13.40	42.36	31.39	12.85	26	83	$2 \cdot 75 \cdot 10^{-6}$	19.

* $\text{CaO-SiO}_2\text{-Al}_2\text{O}_3$ 系の粘性に就いては最近 Behrendt 及び Kootz (Stahl u. Eisen 69, 1939, 3) が測定が行われているが詳報を見ていないので比較しなかつた。

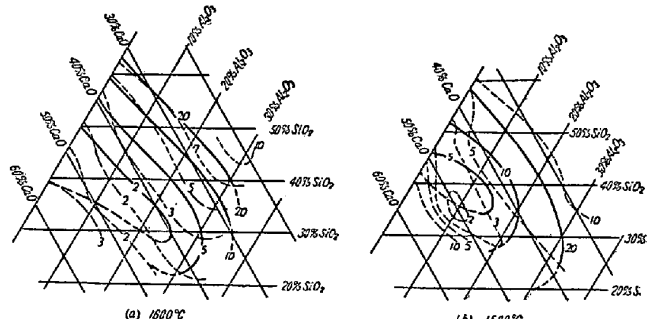
III-1	37.60	41.20		21.20	0.7	10	$4.83 \cdot 10^{-5}$	10.9
2	31.09	49.09		19.82	5.2	17	$1.43 \cdot 10^{-3}$	8.4
3	22.30	57.55		20.15	10	48	$2.62 \cdot 10^{-5}$	12.9
4	15.93	64.23		19.84	22	(170)	$3.30 \cdot 10^{-25}$	54.9
5	28.84	42.36		28.80	6.4	25	$2.07 \cdot 10^{-14}$	31.0
6	16.52	51.31		32.17	3.9	31	$9.22 \cdot 10^{-7}$	15.5
7	9.15	60.38		30.47	12			

註：括弧を附した粘度値は測定温度外へ外挿した値である。



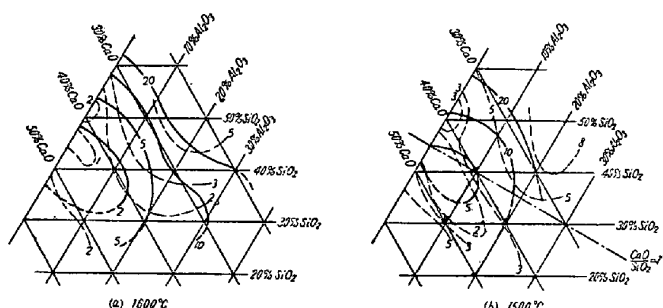
第1図 $\text{CaO}-\text{SiO}_2-\text{MgO}$ 系の等粘性線
(数字は粘度(poise))

— 著者
--- McCaffery



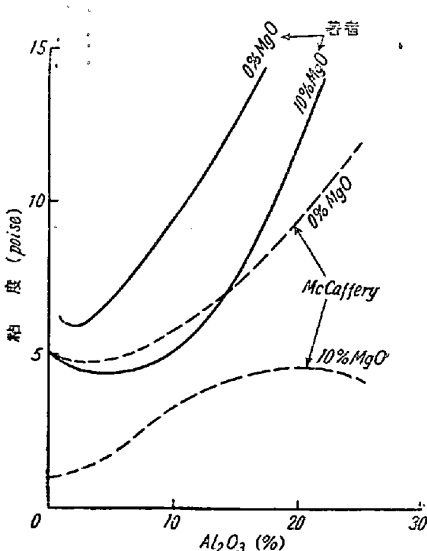
第2図 $\text{CaO}-\text{SiO}_2-\text{Al}_2\text{O}_3-\text{MgO}$ 系の 5% MgO 切断面に於ける等粘性線(数字は粘度(poise))

— 著者
--- McCaffery



第3図 $\text{CaO}-\text{SiO}_2-\text{Al}_2\text{O}_3-\text{MgO}$ 系の 10% MgO 切断面に於ける等粘性線(数字は粘度(poise))

— 著者
--- McCaffery



第4図 $\text{CaO}/\text{SiO}_2 = 1$ に於ける切断面(1500°C)

果、點線は McCaffery の結果である。斜線を施した部分は状態図より判断して融體、固體が共存すると考えられる範囲である。McCaffery の結果では等粘性線の形は複雑であるが概観的に見て $\text{CaO}-\text{SiO}_2$ 系に MgO が添加されると粘性は著しく低下することが明かである。 $\text{CaO} 40\%$, $\text{SiO}_2 50\%$, $\text{MgO} 10\%$ 附近に小さな粘性最高値の存在を報告しているが、その原因は不明であり本實驗では存在が認められなかつた。本實驗結果では、 $\text{CaO}-\text{SiO}_2$ 系に MgO が添加されると粘性は低下したがその程度は McCaffery の結果程著しくなく、 MgO の添加量が多くなると粘性は反つて増加した。而して等粘性線は低 MgO 範囲に於ては等 SiO_2 線に略々平行であつた。低粘性の組成領域は $\text{CaO}-\text{SiO}_2-\text{Al}_2\text{O}_3$ 系の場合より廣い。(前報第 5 圖参照) 尚 McCaffery は低 SiO_2 側の融體、固體共存範囲に低粘性の等粘性線を書いているが、これらは信頼が置けないものと考へられる。(普通液體の粘性は固體が懸濁すると急激に増大する。本實驗では黒鉛坩堝で溶解したため、高 CaO 鏡津はカーバイドを生成し粘性を検討することが出来なかつた)。

第2, 3 圖には $\text{CaO}-\text{SiO}_2-\text{Al}_2\text{O}_3-\text{MgO}$ 系の 5, 10% MgO 切断面に於ける等粘性線を示した。圖から判る如く本實驗の結果と McCaffery の結果とは等粘性線の位置が相違し、その相違は高 Al_2O_3 程又高 MgO 程である。McCaffery によれば MgO は $\text{CaO}-\text{SiO}_2-\text{Al}_2\text{O}_3$ 組成領域に於いて最も作用が強いため、その作用は高 Al_2O_3 の場合

に著しく、且又低粘性の組成領域を著しく廣くする。即ちMgO含有鑄滓は組成の變化による粘性の變化が小さくなり熔鑄爐の操業が安定になることになる。然し本實驗の結果ではMgOはCaO-SiO₂-Al₂O₃系の粘性を低下せしめ且低粘性の組成領域を廣める作用を有つてはいるがMcCafferyの結果に比べればその作用がずっと小さい。又酸性高Al₂O₃鑄滓の場合Al₂O₃增加に伴う粘性變化の模様が兩結果に於て著しく相違している。即ちMcCafferyの結果ではAl₂O₃含量の増加と共に始めは粘性が増加するがAl₂O₃含量がある程度以上になると粘性は反つて低下する。然るに本實驗の結果ではAl₂O₃含量の増加と共に粘性は増加する一方であつた。この事はCaO/SiO₂一定の断面を見れば明瞭である。第4圖は1500°Cに於けるCaO/SiO₂=1の切斷圖でAl₂O₃含量と粘性の關係をMgO=0の場合と10%の場合を比較して示した。實線は本實驗の結果で點線はMcCafferyの結果であり、本圖からもMgOの効果が明瞭であるし、高Al₂O₃に於ける兩實驗の相違も明瞭である。

IV. 實驗結果の考察

從來より熔鑄爐鑄滓中のMgOは鑄滓の融點を低下せしめるばかりでなく粘性を著しく低下せしめるものと考えられている。その粘性低下作用の程度はMcCafferyによればMgO 15~20%になるとMgOの無い場合の1/6~1/8位の粘性になり而も鑄滓組成の變動による粘性の變化が小さくなり(即ち低粘性の組成領域が廣くなり)熔鑄爐の操業を安定化する効果があると報告されている。その後の多くの研究者もMgOが熔鑄爐鑄滓の粘性を低下せしめるという事には意見が一致している。本研究は10% MgO程度迄のMgOがCaO-SiO₂-Al₂O₃系の粘性に及ぼす影響を検討したのであるが、その結果ではMgOは鑄滓の粘性を低下する作用を有するけれども、從來考えられていた程著しくはなかつた。又低粘性の組成領域も廣くはなるがMcCafferyの結果に比べれば狭い。粘性の活性化エネルギーの値はMgOの無い場合と同程度であつた。即ち溫度の變化による粘性變化の模様はMgOの有無に拘らず略々同様である。

從來より高Al₂O₃鑄滓の粘性を低下せしめるにはMgO量を多くすればよとい考えられている。(例えばSchraderの最近の論文³⁾)本實驗結果によると10%程度のMgO量では粘性の低下は大きくはない。充分な粘性低下の爲にはより多くのMgOが必要と考えられるがこの程度でも鑄滓の融點を低下せしめるので熔鑄爐の操業溫度の比較的低い場合には好影響を與えるものと考え

られる。

MgOの鑄滓粘性に及ぼす影響を考える場合には、MgOによって鑄滓中のどの成分が置換されたかに注意しなければならない。今CaO 40%, SiO₂ 50%, Al₂O₃ 10%の鑄滓を基準としてMgOが10%含まれた場合の粘性を實驗結果より調べてみると第2表の如くなる。

第2表

組成 (%)				粘度 (poise)	
CaO	SiO ₂	Al ₂ O ₃	MgO	1600°C	1500°C
40	50	10		8	20
36	45	9	10	3	8
40	50		10	3	9
40	40	10	10	2	5
30	50	10	10	10	20

CaO, SiO₂, Al₂O₃の組成割合を變化せずMgOを10%加えれば粘性が低下することは明らかであるが、Al₂O₃又はSiO₂を減少してMgOを添加すれば粘性は低下し、CaOの代りにMgOが含まれば粘性は殆んど變らないか、或は寧ろ増大することが判る。(基準鑄滓を變えても同様である)。即ちMgOを含有していてもCaO含有割合が減少すれば粘性は低下しない。従つて鑄滓の融點を考慮せず粘性のみに就いて考えれば粘性低下には鑄滓のSiO₂, Al₂O₃の含有割合を低下させることが必要條件である。

さて、溶融珪酸鹽はSiO₄⁴⁻四面體がSi量に應じて種々の大きさの鎖状或は輪状をなして居り、この鎖なり輪なりの大きさが粘性に關係するものと考えられる。これに金屬酸化物が添加されると鎖なり輪なりが破壊されて段々小さくなり遂にはSiO₄⁴⁻單獨となる。Al₂O₃の如き中性酸化物は鑄滓が酸性(CaO/SiO₂の如き値が鹽基性、酸性の目安であるが最近の考え方によれば鑄滓中のO²⁻濃度が重要な意味を持つ⁴⁾)であれば鹽基として働きO²⁻を供給してSiO₄⁴⁻鎖或は輪を小さくし粘性を低下せしめるが、鹽基性鑄滓に對しては酸として働きO²⁻を取つてAlO₃⁴⁻の如きイオンを形成し粘性は反つて増加すると考えられる。所がCaO, MgOといった鹽基性酸化物は常にO²⁻を供給しSiO₄⁴⁻鎖或は輪を小さくする作用即ち粘性低下作用を示す。従つてこれらの粘性低下作用は酸化物の鹽基としての強さに關係するものと考えられる。CaOはMgOよりも強い鹽基である故CaOの方がMgOよりも鑄滓の粘性低下作用が強いと豫想される。本實驗結果ではMgOの影響はCaOと同程度或いは幾分弱いようである。

方と一致している。然しながら FeO , MnO , TiO_2 等の鐵滓の粘性に及ぼす影響に関する研究を調べてみると粘性低下作用と鹽基の強さとは必ずしも比例關係はないようであり、これらの點は粘性の正確なる測定に併せて更に研究されねばならない問題である。

V. 總括

迴轉圓筒法により $\text{CaO-SiO}_2\text{-MgO}$ 系及び 10% MgO 程度迄の $\text{CaO-SiO}_2\text{-Al}_2\text{O}_3\text{-MgO}$ 系の粘性を測定し、 1500 , 1600°C に於ける等粘性線を書いて McCaffery の結果と比較した。

CaO-SiO_2 系に MgO が添加されると粘性は低下するが MgO 量が多くなると反つて粘性は増加する。低 MgO 範囲では等粘性線は等 SiO_2 線に略々平行である。又低粘性の組成領域は $\text{CaO-SiO}_2\text{-Al}_2\text{O}_3$ 系に比べて廣い。

$\text{CaO-SiO}_2\text{-Al}_2\text{O}_3$ 系に MgO が添加されると粘性は低下し且つ低粘性の組成領域は廣くなるが McCaffery の結果と比較するとその程度が小さい。又 McCaffery によれば高 Al_2O_3 鐵滓の粘性は MgO 添加によって著しく低下するように報告されているが、本實驗の結果では MgO が添加されても Al_2O_3 の粘性增加作用は残つ

ていた。

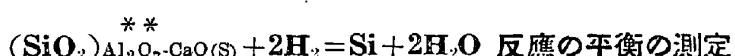
MgO の鐵滓粘性に及ぼす影響を考えるに際しては MgO が増加した代りに鐵滓成分の中どの成分が減少したかに注意しなければならぬ。熔鑄爐鐵滓の粘性を低下せしめるには SiO_2 , Al_2O_3 の含有割合を低下せしめることが必要である。 MgO の粘性低下作用は CaO と同程度若くは幾分弱い程度で、これらの酸化物の鹽基としての強さに關係があるようである。

終りに臨み、本研究の遂行に關し終始御鞭撻を賜つた小野所長並に御指導を賜つた齊藤教授に厚く感謝致します。又、分析に助力された後藤正君の勞に對しても厚く感謝致します。(昭和 27 年 5 月寄稿)

文獻

- 1) 齊藤、川合: 鐵と銅, 38 (昭27), 2 號, 12.
- 2) R. S. McCaffery and coworkers: A.I.M.E. Tech. Pub. No. 383 (1931).
- 3) H. Schrader: Archiv Eisenhüttenw. 22 (1951) 275.
- 4) J. Chipman and L. C. Chang: J. Metals 1 (1949), 191.
P. Herasymenko: J. Iron & Steel Inst. 166 (1950), 169.

熔鐵中の珪素、熔滓及び $\text{H}_2/\text{H}_2\text{O}$ 混合瓦斯間の平衡 (III)*



(昭和 26 年 4 月及び同 27 年 4 月本會講演大會にて講演)

三本木貢治¹⁾・大谷 正康²⁾・中村 元³⁾

ON THE EQUILIBRIUM AMONG THE SILICON IN MOLTEN IRON,
THE MOLTEN SLAG AND THE $\text{H}_2\text{-H}_2\text{O}$ MIXED GAS (III)

Measurement of the Equilibrium of the Reaction: $(\text{SiO}_2)_{\text{Al}_2\text{O}_3\text{-CaO(S)}} + 2\text{H}_2 = \text{Si} + 2\text{H}_2\text{O}$

Kōji Sanbongi, Dr. Eng., Masayasu Ohtani and Hajime Nakamura

Synopsis:

Using a CaO crucible, authors measured the equilibrium the following reaction under the con-

* 選鑄製錠研究所報告第 124 號 ** CaO 飽和の $\text{Al}_2\text{O}_3\text{-CaO-SiO}_2$ 系鐵滓中の SiO_2 を意味する。

1) 東北大學學授 選鑄製錠研究所 工博

2) 助教授 同 工
3) 學院研究獎學生 金屬工學科 工